

О. В. Бурсиан

ЗАМЕНА ЧИПА С СОХРАНЕНИЕМ ЧИСЛА ПАРСОЧЕТАНИЙ

1. Введение. Пусть дан граф G . Чип H – это индуцированный подграф графа G . Вершины чипа, из которых ведет ребро наружу (в остальную часть графа G), и сами эти ребра будем называть *наружными*, а вторые концы этих ребер назовем *контактами*. Под вырезанием чипа мы подразумеваем следующее преобразование графа:

- 1) удалим из G все вершины чипа H ;
- 2) добавим “небольшой” чип h , не имеющий наружных ребер, совместив контакты в G с некоторыми вершинами чипа h .

Полученный граф назовем G' . Вершины чипа h , которые совмещаются с контактами в G , тоже будем называть контактами. Подберем чип h таким образом, чтобы выполнялось равенство

$$M(G) = xM(G'), \quad (1)$$

где $M(G)$ и $M(G')$ – числа паросочетаний графов G и G' , а x – множитель, зависящий от чипа H . Под паросочетанием всегда подразумевается совершенное паросочетание графа.

Техника вырезания чипов позволяет свести задачу подсчета числа паросочетаний графа к той же задаче на меньшем графе. В данной заметке получена формула (1) для некоторых двудольных планарных чипов H с небольшим числом контактов. На граф G при этом никаких условий не накладывается. Также приведен способ построения нового чипа h , если G – плоский граф, грани которого нечетно ориентированы, а чип является двудольным чипом с произвольным числом контактов, в котором соседние в порядке обхода границы чипа контакты принадлежат разным долям.

2. Построение биекции между паросочетаниями. Пусть G – неориентированный взвешенный граф, который может содержать кратные ребра. Рассмотрим некоторое множество V вершин графа G . Пусть при удалении множества V граф G распадается на две части,

Ключевые слова: число паросочетаний, “Urban renewal”, пфаффиан.

не имеющие общих ребер. К каждой из этих частей присоединим вершины из множества V вместе с ребрами, которые соединяли их с вершинами этой части в G . Ребра между вершинами множества V присоединим к любой из частей. Назовем полученные графы G_1 и G_2 . При этом часть кратных ребер между одной и той же парой вершин из V может оказаться в G_1 , а оставшиеся – в G_2 . Пусть U – подмножество в V и $U^C = V \setminus U$. Разобьем паросочетания на группы. В каждой группе ребра паросочетания, которые инцидентны вершинам множества U , принадлежат G_1 , а те ребра, которые инцидентны вершинам множества U^C , принадлежат G_2 . Отсюда следует, что

$$M(G) = \sum_{U: U \subset V} M(G_1 \setminus U^C)M(G_2 \setminus U). \quad (2)$$

Запишем эту сумму для графа G , взяв в качестве V множество контактов некоторого чипа H . Через \tilde{G} обозначим граф, полученный из G удалением вершин чипа H , через \tilde{G}_U – граф, полученный из \tilde{G} удалением вершин множества U , через H_U – граф, полученный из H удалением вершин, которые соединены наружными ребрами с контактами, принадлежащими множеству U . В данном случае G_1 – это чип H вместе с наружными ребрами и контактами, а G_2 есть \tilde{G} . Если между контактами были ребра, то они попадут в граф G_2 . Мы имеем $M(G_1 \setminus U^C) = M(H_U)$, так как листья графа G_1 всегда берутся в паросочетание. Получаем

$$M(G) = \sum_{U: U \subset V} M(H_U)M(\tilde{G}_U). \quad (3)$$

Аналогично для графа G' получаем

$$M(G') = \sum_{U: U \subset V} M(h_U)M(\tilde{G}_U), \quad (4)$$

где h_U – граф, полученный из h удалением всех контактов, которые принадлежат множеству U^C . В этом случае граф G_1 – это h (вместе с ребрами между контактами в h), а граф G_2 – тот же, что и в первом случае.

Если удастся подобрать такой подграф h , что $M(H_U) = xM(h_U)$ для некоторого x , не зависящего от U , то мы получим

$$M(G) = \sum_{U: U \subset V} M(H_U)M(\tilde{G}_U) = \sum_{U: U \subset V} xM(h_U)M(\tilde{G}_U) = xM(G'). \quad (5)$$

Таким образом, мы построили биекцию между паросочетаниями на графе G и на графе G' аналогично тому, как это сделано в `igraph renewal` [8].

Рассмотрим задачу нахождения такого чипа h , для которого выполнено равенство (1), в случае планарного чипа H с небольшим числом контактов.

Определение. Пусть зафиксирована некоторая укладка графа G на плоскости. Пусть чип H плоский и двудольный и прикреплен к графу с помощью четного числа контактов. Рассмотрим циклическую последовательность его контактов в порядке обхода вдоль границы чипа. Если любые два соседние элемента этой последовательности принадлежат разным долям, то такой чип будем называть черно-белым.

В случае, когда чип прикреплен с помощью четырех контактов и имеет совершенное паросочетание, возможны всего два варианта раскраски его вершин. Для черно-белого чипа задача решена в [1] (теорема 5.3 и замечание после нее), при этом $x = M(H)$. Для чипа, в последовательности контактов которого есть две соседние вершины одной доли, в [1] получена аналогичная равенству (1) формула для пфаффиана графа, по которой можно посчитать число паросочетаний ([1, теорема 5.5]).

Следующая теорема позволяет заменить чип указанного вида на новый чип h таким образом, что выполнено равенство (1).

Отметим, что на граф G никаких специальных условий не накладывается.

Теорема 2.1. Пусть граф G содержит двудольный планарный чип H с четырьмя контактами. Пусть зафиксирована укладка графа G на плоскости и в последовательности контактов в порядке обхода вдоль границы чипа есть две соседние вершины, принадлежащие одной доле графа (рис. 1). Пусть величины $\beta = M(H)$, $\beta_{ABCD} = M(H \setminus \{A, B, C, D\})$, $\beta_{uv} = M(H \setminus \{u, v\})$, где $u, v \in \{A, B, C, D\}$ и эти вершины принадлежат разным долям, не равны нулю. Пусть граф G' получен из графа G заменой чипа H на новый чип h (рис. 2), веса ребер которого заданы как показано на рисунке. Тогда

$$M(G) = M(H)M(G').$$

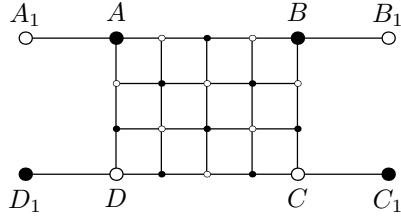


Рис. 1: Пример двудольного планарного чипа H .

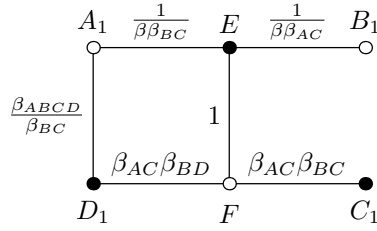


Рис. 2: Новый чип h .

Доказательство. Поскольку чип содержит четное число вершин и имеет поровну контактов в каждой доле, ненулевые слагаемые суммы (3) соответствуют множествам U с четным числом элементов. В случае четырех контактов множество U может состоять из 0, 2 или 4 вершин, при этом должно быть взято одинаковое количество вершин каждой доли. Запишем x – отношение числа паросочетаний в графе H_U к числу паросочетаний в графе h_U для всех подходящих U . Два случая биективного соответствия приведены на рис. 3 и 4. На каждом рисунке схематично изображен чип H в графе G (слева) и чип h в графе G' (справа). Жирной линией отмечены ребра, взятые в паросочетание. На рис. 3 в паросочетание в H взяты ребра (A_1, A) и (C_1, C) , а ребра (B_1, B) и (D_1, D) не взяты. Соответственно, контакты A_1 и C_1 должны быть взяты в паросочетание в h , а контакты B_1 и D_1 – в \tilde{G} . Это может быть сделано только одним способом – взять в паросочетание ребра (A_1, E) и (C_1, F) . На рис. 4 справа приведены две картинки, соответствующие двум способам разбить на паросочетания граф $h \setminus \{B_1, C_1\}$.

Теперь нужно подобрать множитель x одинаковым во всех случаях. Получаем систему

$$\begin{cases} x = \beta/w_{EF}, \\ x = \beta_{ABCD}/(w_{A_1D_1} \cdot w_{B_1E} \cdot w_{C_1F}), \\ x = \beta_{AC}/(w_{A_1E} \cdot w_{C_1F}), \\ x = \beta_{BD}/(w_{D_1F} \cdot w_{B_1E}), \\ x = \beta_{BC}/(w_{B_1E} \cdot w_{C_1F}), \\ x = \beta_{AD}/(w_{A_1E} \cdot w_{D_1F} + w_{A_1D_1} \cdot w_{EF}). \end{cases}$$

Для чипов рассматриваемого вида имеет место соотношение Куо ([6, теорема 2.3])

$$\beta_{AD}\beta_{BC} = \beta_{AC}\beta_{BD} + \beta_{ABCD}\beta. \quad (6)$$

С учетом этого соотношения одно из возможных решений системы при $x = M(H)$ имеет вид $w_{EF} = 1$, $w_{A_1D_1} = \frac{\beta_{ABCD}}{\beta_{BC}}$, $w_{B_1E} = \frac{1}{\beta\beta_{AC}}$, $w_{C_1F} = \beta_{AC}\beta_{BC}$, $w_{A_1E} = \frac{1}{\beta\beta_{BC}}$, $w_{D_1F} = \beta_{AC}\beta_{BD}$. \square

Замечание. Если G – планарный граф, все грани которого были нечетно ориентированы, то чип h может быть ориентирован таким образом, что ориентация вне чипа сохраняется, а все грани графа G' тоже нечетно ориентированы.

Замечание. Если некоторые контакты были соединены ребрами в графе G , то после замены чипа к их весу прибавляется вес, указанный на рисунке.

3. Планаризация и построение пфаффово́й ориентации на новом чипе. В случае построения биекции предполагается, что нужно найти чип h , для которого система уравнений, полученная сопоставлением паросочетаний на исходном и новом графе, имеет хотя бы одно

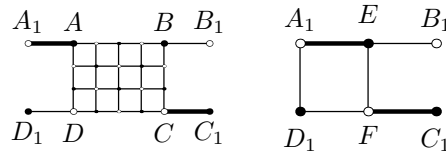


Рис. 3: $x = \frac{\beta_{AC}}{w_{A_1E}w_{C_1F}}$.

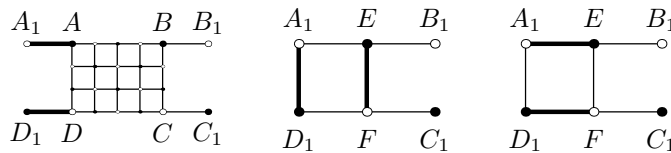


Рис. 4: $x = \frac{\beta_{AD}}{w_{A_1E}w_{D_1F} + w_{A_1D_1}w_{EF}}$.

решение, и предъявить это решение. При большом числе контактов система содержит много уравнений и такой чип подобрать сложно.

Перенумеруем вершины графа G и воспользуемся конструкцией пфаффиана так же, как это сделано в [5]. Приведем теорему 3.4 из работы [2], которая позволяет получить аналогичную равенству (1) формулу для пфаффиана графа, а в случае наличия пфаффовой ориентации – и для числа паросочетаний.

Теорема 3.1. Пусть H – чип с наружными вершинами $v_{i_1}, v_{i_2}, \dots, v_{i_k}$, которые крепятся соответственно к контактам $v_{j_1}, v_{j_2}, \dots, v_{j_k}$. Пусть $i_r < i_s$, и пусть вес заплатки между вершинами v_{j_r} и v_{j_s} задается формулой

$$w(v_{j_r}, v_{j_s}) = (-1)^{i_r+i_s} w_{i_r j_r} w_{i_s j_s} \frac{\text{Pf } H \setminus \{v_{i_r}, v_{i_s}\}}{\text{Pf } H}. \quad (7)$$

Тогда имеют место тождества

$$\det(\tilde{A}(G)) = \det(\tilde{A}(H)) \cdot \det(\tilde{A}(G')) \quad \text{и} \quad \text{Pf } G = \text{Pf } H \cdot \text{Pf } G',$$

где \tilde{A} – кососимметрическая матрица смежности графа.

В общем случае чип h из теоремы 3.1 не допускает пфаффову ориентацию. Ниже мы покажем, что в некоторых частных случаях чип h может быть модифицирован в планарный подграф, на котором строится пфаффова ориентация, причем это можно сделать с помощью перестроек графа, сохраняющих пфаффиан с точностью до некоторого легко вычислимого множителя. Эти перестройки мы проведем таким образом, что не изменится ориентация ребер той части графа G' , которая сохранилась от исходного графа G . В результате вместо пфаффиана можно снова написать число паросочетаний.

Определение. Будем называть цикл хорошим, если он содержит четное число вершин и при его удалении из графа оставшаяся часть графа имеет совершенное паросочетание (см., например, [4]).

Определение. Ориентация на графе называется пфаффовой, если все хорошие циклы нечетно ориентированы, то есть содержат нечетное число ребер, которые ориентированы по направлению обхода цикла (см., например, [4]).

Определение. Пусть дан путь $p(a, b)$ из вершины a в вершину b на ориентированном графе H . Определим величину $d(p(a, b))$ равной 1,

если при прохождении пути от a к b число ребер, направление которых совпадает с направлением движения, является четным, и равной -1 , если оно нечетно.

Заметим, что если на графе задана пфаффова ориентация, а путь p является хорошим циклом, то $d(p) = -1$.

Определение. Будем говорить, что грани плоского графа нечетно ориентированы, если для каждой грани, кроме, возможно, внешней, число ребер, направленных по часовой стрелке, нечетно (см., например, [4]).

Лемма 3.2. Пусть грани плоского двудольного графа G нечетно ориентированы. Пусть $p_1(a, b)$ и $p_2(a, b)$ – два пути в G , не имеющие общих вершин кроме a и b . Пусть четность числа вершин внутри цикла $p_1 + \bar{p}_2$ не совпадает с четностью числа ребер пути p_2 , где \bar{p}_2 – путь, противоположный пути p_2 . Тогда $d(p_1) = d(p_2)$.

Доказательство. По лемме 8.3.3 из работы [4] число ребер, ориентированных в направлении обхода по часовой стрелке, в любом простом цикле и число вершин внутри этого цикла имеют разную четность, если грани графа нечетно ориентированы. Значит, $d(p_1 + \bar{p}_2) = (-1)^{v+1}$, где v – число вершин внутри цикла $p_1 + \bar{p}_2$. Имеем $d(p_1 + \bar{p}_2) = d(p_1)d(\bar{p}_2)$, $d(\bar{p}_2) = (-1)^e d(p_2)$, где e – число ребер пути p_2 . Из этих равенств получаем требуемое. \square

Определение. Будем говорить, что граф G построен по паросочетаниям M_1 и M_2 графов G_1 и G_2 соответственно, если $V(G) = V(G_1) \cup V(G_2)$ и множество ребер графа G есть объединение множеств ребер паросочетаний M_1 и M_2 .

Лемма 3.3. Пусть H – плоский двудольный граф, грани которого нечетно ориентированы. Зафиксируем некоторую нумерацию вершин и будем обозначать через $\text{num}(v)$ номер вершины v в этой нумерации. Пусть H_{ab} – граф, полученный из графа H удалением двух вершин a и b , принадлежащих внешней грани, и $\text{num}(a) < \text{num}(b)$. Пусть H и H_{ab} имеют совершенное паросочетание. Тогда $\text{sgn}\left(\frac{\text{Pf } H_{ab}}{\text{Pf } H}\right) = (-1)^{\text{num}(a) + \text{num}(b)} d(p(a, b))$, где $p(a, b)$ – путь от a к b в графе, построенном по паросочетаниям графов H и H_{ab} .

Доказательство. Пусть H' – граф, полученный добавлением к графу H ребра $a \rightarrow b$ (если в H уже было ребро между этими вершинами,

полагаем $H = H'$). Пусть M_1 – паросочетание в графе H' , не содержащее ребра (a, b) . Тогда M_1 является паросочетанием также и в графе H . Пусть M_2 – паросочетание в графе H' , содержащее ребро (a, b) . Пусть M_3 – паросочетание, полученное из M_2 удалением ребра (a, b) . Тогда M_3 является паросочетанием также и в графе H_{ab} .

Поскольку граф H пфаффово ориентирован и, следовательно, его подграф H_{ab} , где a и b принадлежат внешней грани, тоже, все паросочетания в них имеют одинаковый знак и $\text{sgn}\left(\frac{\text{Pf } H_{ab}}{\text{Pf } H}\right) = \frac{\text{sgn}(M_3)}{\text{sgn}(M_1)}$.

Мы имеем $\text{sgn}(M_2) = \text{sgn}(M_3)(-1)^{\text{num}(a)+\text{num}(b)+1} \text{sgn}(ab)$ (см., например, [5, р. 9, Observation 4]).

Кроме того, $\text{sgn}(M_1) \text{sgn}(M_2) = (-1)^k$, где k – число чётно ориентированных циклов в графе $M_1(H) \cup M_2(H)$, по лемме 8.3.1 работы [4].

Все циклы, кроме того, на котором лежит ребро (a, b) , нечётно ориентированы, поскольку на H задана пфаффо́ва ориентация. Значит, k равно нулю или единице в зависимости от ориентации цикла, на котором лежит ребро (a, b) , и $\text{sgn}(M_1) \text{sgn}(M_2) = -d(p(a, b)) \text{sgn}(ab)$. \square

Замечание. Пусть выполнены условия леммы 3.3 и теоремы 3.1. Тогда знак добавленного по теореме 3.1 ребра, соединяющего два контакта v_{j_1} и v_{j_2} в G' , находится из формулы

$$\text{sgn}(v_{j_1} v_{j_2}) = -d(p(v_{j_1}, v_{j_2})),$$

где $p(v_{i_1}, v_{i_2})$ – путь в графе, построенном по паросочетаниям графов H и $H \setminus \{v_{i_1}, v_{i_2}\}$, а путь $p(v_{j_1}, v_{j_2})$ образован ребром (v_{j_1}, v_{i_1}) , путем $p(v_{i_1}, v_{i_2})$ и ребром (v_{i_2}, v_{j_2}) .

Доказательство. Пусть вершины v_{j_1} и v_{j_2} были присоединены к чипу с помощью наружных ребер (v_{i_1}, v_{j_1}) и (v_{i_2}, v_{j_2}) . По теореме 3.1

$$\text{sgn}(v_{j_1} v_{j_2}) = (-1)^{i_1+i_2} \text{sgn}(v_{i_1} v_{j_1}) \text{sgn}(v_{i_2} v_{j_2}) \text{sgn}\left(\frac{\text{Pf}(H \setminus \{v_{i_1}, v_{i_2}\})}{\text{Pf}(H)}\right).$$

Поскольку по условию существует хотя бы одно паросочетание графа H и хотя бы одно паросочетание графа $H \setminus \{v_{i_1}, v_{i_2}\}$, по ним можно построить путь от v_{i_1} к v_{i_2} . Выражая знак отношения пфаффианов по лемме 3.3, получаем требуемое. \square

Замечание. Пусть выполнены условия леммы 3.3 и теоремы 3.1. Пусть $C(j_1, j_2)$ – цикл, образованный путем $p(j_1, j_2)$ и новым ребром, соединяющим контакты j_1 и j_2 . Тогда цикл $C(j_1, j_2)$ нечётно ориентирован.

Посмотрим, какова ориентация подграфа, полученного по теореме 3.1, если исходный граф планарен, а чип был черно-белым и имел n контактов.

Пусть зафиксирована укладка графа G на плоскости. Пусть весь чип H имеет совершенное паросочетание и для любых двух наружных вершин a и b , принадлежащих разным долям, граф H_{ab} тоже имеет совершенное паросочетание. По теореме 3.1 чип такого вида заменяется на граф $K_{n,n}$, в котором веса ребер заданы формулой (7) (при этом мы считаем, что ребра ориентированы от вершин с меньшим номером к вершинам с большим номером). Если вес ребра $K_{n,n}$ получается отрицательным, поменяем его ориентацию на противоположную. Полученный граф $K_{n,n}$ с положительными весами ребер обозначим через K .

Крайними ребрами будем называть ребра графа K , соединяющие два контакта, которые являются соседними в порядке обхода границы чипа в графе G . *Диагональными* будем называть все остальные ребра графа K .

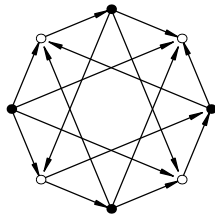


Рис. 5:

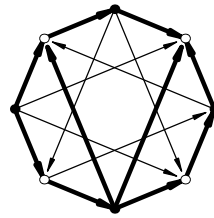


Рис. 6:

Лемма 3.4. Пусть G – плоский граф и его грани нечетно ориентированы. Пусть Q – подграф графа K , содержащий все его крайние ребра и некоторое (возможно, пустое) подмножество непересекающихся диагональных ребер. Тогда все грани графа Q нечетно ориентированы.

Например, на рис. 5 показана ориентация графа $K_{4,4}$, а на рис. 6 – возможный вид подграфа Q в графе $K_{4,4}$.

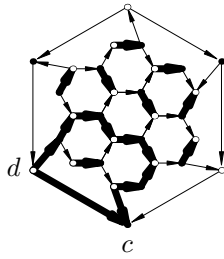


Рис. 7:

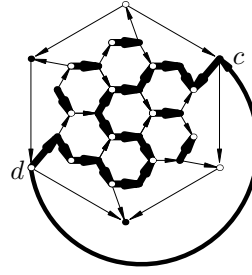


Рис. 8:

Доказательство. Рассмотрим следующую последовательность плоских графов. Расположим на плоскости чип H вместе с наружными ребрами так же, как в графе G . Добавим между контактами крайние ребра графа Q таким образом, чтобы они образовывали границу внешней грани. Полученный граф назовем P_0 . Граф P_{i+1} получим из графа P_i добавлением одного диагонального ребра графа Q во внешнюю грань графа P_i . Диагональные ребра графа Q будем добавлять в следующем порядке.

Построим двойственный граф к графу Q . Удалим из него вершину, соответствующую внешней грани. Полученный двойственный граф является деревом; обозначим его T . Добавим диагональное ребро, соответствующее ребру текущего дерева T , которое инцидентно любому листу в T . Удалим этот лист из T . Добавленное диагональное ребро делит внешнюю грань P_i на две части, одна из которых получается инверсией грани графа Q , соответствующей данному листу. Будем считать внешней гранью графа P_{i+1} другую часть.

Докажем, что грани P_i , $i = 0, 1, \dots, k$, где k – число диагональных ребер графа Q , нечетно ориентированы (включая внешнюю грань). Граф Q получается из P_k удалением чипа H и инверсией относительно цикла, образованного крайними ребрами. Отсюда следует, что для каждой грани графа Q число ребер, направленных против часовой стрелки, нечетно. Поскольку граф Q двудольный, отсюда получаем, что и число ребер, направленных по часовой стрелке, для каждой грани тоже нечетно.

Докажем, что все грани графа P_0 нечетно ориентированы. Те его грани, которые являются также и гранями графа H , нечетно ориентированы по условию. Рассмотрим грань, которая образована двумя наружными ребрами (a, c) и (b, d) , крайним ребром (c, d) между двумя соседними контактами и границей чипа H между вершинами a и b . Обозначим цикл, который ее окружает, через C_F . Построим цикл $C(c, d)$ по двум разбиениям H и H_{ab} так же, как это сделано в замечании после леммы 3.3. На рис. 7 показан возможный вид цикла $C(c, d)$ в случае, если чип является подграфом шестиугольной решетки.

Рассмотрим путь $p(c, d)$, который является частью цикла $C(c, d)$, и путь $p'(c, d)$, который является частью цикла C_F . Разобьем каждый из этих путей на l кусков: $p = \sum_{i=1}^l p_i$, $p' = \sum_{i=1}^l p'_i$, где для любого i либо ребра $p'_i + \bar{p}_i$ образуют простой цикл, либо все ребра частей p'_i и p_i совпадают. Если ребра $p'_i + \bar{p}_i$ образуют простой цикл, то они удовлетворяют условиям леммы 3.2, поскольку $H \setminus p(a, b)$ имеет совершенное паросочетание. Отсюда $d(p'_i) = d(p_i)$ для любого i , а значит, $d(p') = d(p)$. Следовательно, из нечетности ориентации цикла $C(c, d)$ следует нечетность ориентации цикла C_F . Внешняя грань графа P_0 также нечетно ориентирована по лемме 8.3.3 работы [4].

Осталось доказать, что из того, что все грани графа P_i нечетно ориентированы, следует, что и все грани графа P_{i+1} нечетно ориентированы. Проведем диагональное ребро (c, d) между контактами, которые не являются соседними. Построим цикл C_F , который ограничивает одну из новых граней, получившихся при добавлении последнего диагонального ребра, и цикл $C(c, d)$, соответствующий контактам c и d . На рис. 8 показан возможный вид цикла $C(c, d)$ при построении графа P_1 .

Аналогично рассмотрим путь $p(c, d)$ в цикле $C(c, d)$ и путь $p'(c, d)$ в цикле C_F . Имеем $d(p(c, d)) = d(p'(c, d))$ по лемме 3.2. Следовательно, мы снова можем сделать вывод, что из нечетности ориентации цикла $C(c, d)$ следует нечетность ориентации цикла C_F . \square

4. Перестройки графа. Приведем несколько простых операций на ориентированном графе с указанием того, как они меняют пфаффиан (эти изменения пфаффиана проверяются по определению).

Ор 1. Пусть в графе G , содержащем n вершин, вершине v_i инцидентны ребра множества S . Разобьем множество S произвольным образом

на две части S_1 и S_2 . Пусть граф G' получен из G заменой вершины v_i на последовательность из трех новых вершин с номерами $i, n+1, n+2$, соединенных двумя новыми ребрами $v_i \rightarrow v_{n+1}, v_{n+1} \rightarrow v_{n+2}$, имеющими вес 1. При этом ребра множества S_1 присоединим к вершине v_i , а ребра множества S_2 — к вершине v_{n+2} . Тогда $\text{Pf}(G) = \text{Pf}(G')$.

Замечание. Аналогичная операция на вершинах для неориентированного графа называется vertex splitting (см., например, [8]).

Ор 2. Пусть граф G' получен из G заменой на противоположные ориентаций всех ребер, инцидентных вершине v . Тогда $\text{Pf}(G) = -\text{Pf}(G')$.

Ор 3. Пусть в графе G вес ребра между вершинами u и v равен нулю. Пусть граф G' получен из G добавлением двух ребер $u \rightarrow v$ и $v \rightarrow u$ с весом $w > 0$ каждое (или можно считать, что добавлено два ребра $u \rightarrow v$, одно из которых имеет вес w , а другое — вес $-w$). Тогда $\text{Pf}(G) = \text{Pf}(G')$.

Ор 4. Пусть граф G' получен из G домножением весов всех ребер, инцидентных некоторой вершине, на множитель $d > 0$. Тогда $\text{Pf}(G) = \frac{1}{d} \text{Pf}(G')$. Аналогичную операцию можно рассматривать на неориентированном графе, в этом случае выполнено равенство $M(G) = \frac{1}{d} M(G')$.

Теоремы 2.1 и 3.1 подсказывают способ замены двух перекрещивающихся ребер на планарную конструкцию.

Теорема 4.1. Пусть ориентированный двудольный граф G_1 содержит индуцированный подграф на четырех вершинах, вершины A_1 и B_1 которого принадлежат одной доле, а вершины C_1 и D_1 — другой (рис. 11). Пусть множество ребер этого подграфа состоит из ребер $A_1D_1, B_1C_1, C_1A_1, D_1B_1$. Пусть нумерация вершин графа такова, что $\text{num}(A_1) < \text{num}(B_1) < \text{num}(C_1) < \text{num}(D_1)$. Пусть граф G_2 получается из G_1 заменой этого подграфа на подграф на шести вершинах A_2, B_2, C_2, D_2, E и F (рис. 9), веса ребер которого задаются

формулами

$$\begin{aligned}
 v_{A_2 D_2} &= \frac{w_{A_1 D_1} w_{B_1 C_1} - w_{C_1 A_1} w_{D_1 B_1}}{w_{B_1 C_1}}, \\
 v_{FE} &= \frac{1}{w_{B_1 C_1}}, \\
 v_{EA_2} &= \frac{w_{C_1 A_1}}{w_{B_1 C_1}}, \\
 v_{FD_2} &= \frac{w_{D_1 B_1}}{w_{B_1 C_1}}, \\
 v_{B_2 E} &= 1, \quad v_{C_2 F} = 1.
 \end{aligned} \tag{8}$$

Тогда

$$\text{Pf } G_1 = \pm w_{B_1 C_1} \text{Pf } G_2.$$

Доказательство. Заменяем подграф на шести вершинах в графе G_2 на другой подграф, изображенный на рис. 10, с помощью операции **Ор 1**. Теперь заменим получившийся чип с четырьмя контактами. Получится исходный граф G_1 , в котором веса ребер задаются по теореме 3.1, а знаки ребер – по лемме 3.3. В результате мы получим систему уравнений, из которой можем найти веса ребер графа G_2 :

$$\begin{cases}
 w_{A_1 D_1} = \frac{v_{EA_2} v_{FD_2} + v_{A_2 D_2} v_{FE}}{v_{FE}}, \\
 w_{B_1 C_1} = \frac{v_{C_2 F} v_{B_2 E}}{v_{FE}}, \\
 w_{C_1 A_1} = \frac{v_{C_2 F} v_{EA_2}}{v_{FE}}, \\
 w_{D_1 B_1} = \frac{v_{B_2 E} v_{FD_2}}{v_{FE}}.
 \end{cases}$$

Не вдаваясь в вопросы о разрешимости этой системы в общем виде, положим $v_{B_2 E} = v_{C_2 F} = 1$. Тогда выполнены равенства (8) и $\text{Pf } G_2 = \pm v_{FE} \cdot \text{Pf } G_1$, где знак зависит от знака пфаффиана чипа на рис. 10. \square

Теорема 4.1 позволяет определить более сложную перестройку графа, которая “чинит” пфаффову ориентацию в случае наличия перекрещивающихся ребер.

Ор 5. Пусть в графе G есть индуцированный подграф, изображенный на рис. 11. Пусть граф G' получен из G заменой его на подграф, изображенный на рис. 9. Тогда

$$\text{Pf } G' = \pm w_{B_1 C_1} \text{Pf } G,$$

где знак зависит от нумерации вершин.

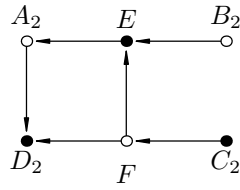


Рис. 9:

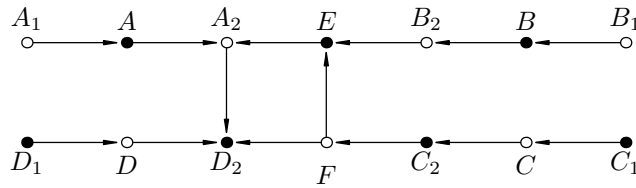


Рис. 10:

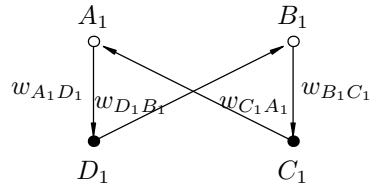


Рис. 11:

Замечание. Пусть грани планарного графа G нечетно ориентированы. Пусть граф G' получен из G по теореме 3.1 после вырезания черно-белого чипа. Тогда перестройками **Ор** 1–5 граф G' приводится к планарному графу, грани которого нечетно ориентированы.

По теореме 3.1 получим граф G' , содержащий непланарный граф K . Расположим ребра графа K таким образом, чтобы в некоторой окрестности каждой из точек пересечения двух ребер не содержалось других ребер. Добавим на каждом из пересекающихся ребер две новые

вершины с помощью **Ор 1** так, чтобы они содержались внутри этой окрестности. Добавим (**Ор 3**) два кратных ребра между новыми вершинами так, чтобы получить подграф, пригодный для **Ор 5**, и заменим этот подграф на планарный. Таким образом, аналогично тому, как это сделано в [7, VI.A], с помощью похожих перестроек подграф K преобразуется в планарный подграф, который обозначим K' . Предположим, что ориентация графа K' не является пфаффовою. Тогда построим пфаффову ориентацию на K' тем же способом, что и в теореме 8.3.4 работы [4]. На первом шаге берется дерево на графе, ребра которого можно ориентировать произвольным образом. Возьмем в это дерево все кроме одного крайние ребра графа K' , сохранив их ориентацию, и построим пфаффову ориентацию. Ориентация оставшегося крайнего ребра не изменится, что следует из леммы 8.3.3 работы [4] в силу четности числа добавленных в K вершин. С помощью рассуждений, аналогичных доказательству леммы 3.4, получим, что грани графа, который получается из G вырезанием чипа H и добавлением всех крайних ребер графа K , нечетно ориентированы. Значит, все грани графа, полученного из G' с помощью планаризации, нечетно ориентированы.

5. Замена чипа с шестью контактами. Пусть граф G содержит произвольный плоский двудольный чип с шестью контактами, которые принадлежат разным долям в порядке обхода границы чипа. При вырезании такого чипа по теореме 3.1 получим граф $K_{3,3}$. Если чип был вырезан из плоского графа G , грани которого нечетно ориентированы, то ориентация графа $K_{3,3}$ может быть найдена по лемме 3.4. На рис. 12 показано приведение графа $K_{3,3}$ к планарному чипу с помощью операций из предыдущего параграфа, при этом грани нового плоского чипа нечетно ориентированы, все грани, примыкающие к чипу в G' , нечетно ориентированы и ориентация ребер исходного графа G вне чипа H не изменилась.

На рис. 12 первый подграф – пример черно-белого чипа с шестью контактами, а второй – полученный по теореме 3.1 граф $K_{3,3}$ с точностью до применения **Ор 2**. Третий подграф получается после применения **Ор 5** и **Ор 1**, четвертый – после **Ор 2**, **Ор 3** и **Ор 5**. Ориентация этого подграфа является пфаффовою, что позволяет снова перейти к неориентированному графу. При этом веса двух ребер получают отрицательными и чип не является симметричным. Однако полученный

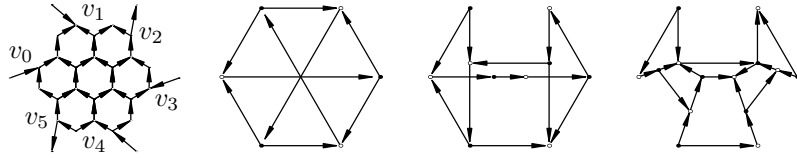


Рис. 12:

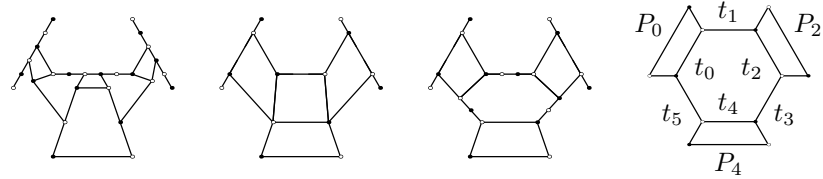


Рис. 13:

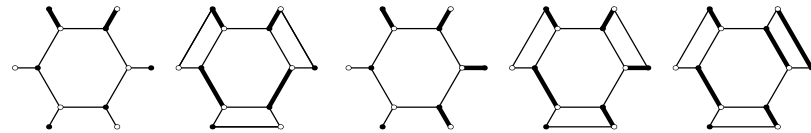


Рис. 14:

чип может быть приведен к симметричному виду с помощью перестроек vertex splitting, urban renewal и **Op 4** для неориентированного графа (рис. 13). Отрицательные веса исчезают при сложении кратных ребер. Получаем $M(G) = xM(G')$, где $|x|$ – произведение весов множителей всех примененных **Op 4** и **Op 5**, а $\text{sgn}(x)$ – произведение знаков множителей всех примененных **Op 2** и **Op 5**.

Докажем полученный результат с помощью построения биекции, что позволит обобщить его на случай произвольного графа G .

Теорема 5.1. Пусть граф G содержит черно-белый чип H с шестью контактами. Пусть v_i – наружные вершины чипа в порядке обхода вдоль границы, $i = 0, 1, \dots, 5$. Пусть величины $\beta = M(H)$, $\beta_{ij} = M(H \setminus \{v_i, v_j\})$, где v_i, v_j являются вершинами разных долей, и $\beta_{ijkl} = M(H \setminus \{v_i, v_j, v_k, v_l\})$.

$\{v_i, v_j, v_k, v_l\}$), где две из этих вершин принадлежат одной доле, а две – другой, не равны нулю. Пусть новый граф G' получен из графа G заменой этого чипа на новый чип h (последний граф на рис. 13), веса ребер которого задаются формулами

$$P_{2i} = \frac{\beta_{2i,2i+1,2i+3,2i+4}}{\beta_{2i+3,2i+4}}, \quad P_{2i+1} = 0,$$

$$t_{2i} = \frac{\beta_{2i+2,2i+5} \cdot \beta_{2i+3,2i+4} \cdot \beta}{p}, \quad t_{2i+1} = \frac{\beta_{2i+3,2i+4} \cdot \beta_{2i+5,2i} \cdot \beta}{p},$$

$$i = 0, 1, 2, \quad p = \beta_{12} \cdot \beta_{50} \cdot \beta_{34} + \beta_{25} \cdot \beta_{41} \cdot \beta_{03}; \quad (9)$$

сложение в индексах производится по модулю 6, оставшиеся ребра имеют единичный вес. Тогда

$$M(G) = \frac{p^2}{\beta^2 \cdot \beta_{50} \cdot \beta_{34} \cdot \beta_{12}} M(G').$$

Доказательство. Построим биекцию между паросочетаниями в графе G и в графе G' и получим систему уравнений аналогично тому, как это сделано в теореме 2.1. Разобьем множество паросочетаний на группы в зависимости от того, какие контактные ребра содержит паросочетание. Всего имеется около двух десятков таких групп. Два случая биективного соответствия приведены на рис. 14. Для каждого случая слева схематично изображено паросочетание в H . Жирными линиями отмечены наружные ребра, которые взяты в паросочетание. Справа изображено паросочетание в чипе h . Жирными линиями отмечены ребра, которые взяты в паросочетание. В том случае, который изображен на рисунке слева, получим уравнение $x = \beta_{12}/(t_3 \cdot t_5)$, для случая справа – уравнение $x = \beta_{1234}/((t_2 P_2 + 1) \cdot t_5)$. Собирая вместе уравнения для всех случаев, мы получим весьма большой набор равенств, которые можно рассматривать как систему уравнений, где неизвестными являются веса чипа h . Будем обозначать A, B, C, D, E, F вершины из множества $\{v_i\}$, $i = 0, \dots, 5$. Для двудольных планарных чипов с четырьмя контактами выполнено соотношение (6) и равенство

$$\beta \beta_{ABCD} = \beta_{AB} \beta_{CD} + \beta_{AD} \beta_{BC},$$

где A и C принадлежат одной доле графа, а B и D – другой ([6, теорема 2.1]). Для черно-белого чипа с шестью контактами выполнено равенство

$$\beta \beta_{ABCDEF} = \beta_{AB} \beta_{CDEF} + \beta_{AF} \beta_{BCDE} + \beta_{AD} \beta_{BCEF}, \quad (10)$$

где A , C и E принадлежат одной доле графа, а B , D и F — другой. Последнее соотношение можно получить рассуждениями, аналогичными доказательству леммы 2.1 работы [3] и теоремы 2.3 работы [6]. Добавив к системе эти соотношения, можно проверить, что приведенный в теореме набор весов ребер, полученный перестройками графа $K_{3,3}$, действительно является решением этой системы. \square

Замечание. В [5, Corollary 7] получено аналогичное формуле (10) равенство для более общего случая как следствие из аналогичных теорем о планарных (не обязательно двудольных) графах. В случае черного-белого чипа оно содержит больше слагаемых.

Замечание. Веса нового чипа h были получены в предположении, что G является планарным графом, грани которого нечетно ориентированы. Однако в теореме 5.1 ограничения налагаются только на чип H , а граф G может быть произвольным.

ЛИТЕРАТУРА

1. В. Аксенов, К. Кохась, *Удаление чипов. Urban Renewal revisited.* — Зап. научн. семин. ПОМИ **432** (2014), 5–29.
2. В. Аксенов, К. Кохась, *Удаление чипов при подсчете пфаффианов.* — Зап. научн. семин. ПОМИ (2015).
3. К. Кохась, *Разбиение ацтекских алмазов и квадратов на домино.* — Зап. научн. семин. ПОМИ **360** (2008), 180–230.
4. Л. Ловас, М. Пламмер. *Прикладные задачи теории графов.* М.: Мир, 1998.
5. M. Fulmek, *Graphical condensation, overlapping pfaffians and superpositions of matchings.* — Electron. J. Combin. **17**, No. 1 (2010), Research Paper 83.
6. E. Куо, *Application of graphical condensation for enumerating matchings.* — Theoret. Comput. Sci. **319** (2004), 29–57.
7. G. Kuperberg, *An exploration of the permanent-determinant method.* Electron. J. Combin. **5** (1998), #R46.
8. J. Propp, *Generalized domino-shuffling.* — Theoret. Comput. Sci. **303**, No. 2–3 (2003), 267–301.

Bursian O. V. Chip removal for computing the number of perfect matchings.

We consider a transformation of a graph G that replaces an induced subgraph H of arbitrary size by a little new subgraph h . We choose h in such a way that the equality $M(G) = xM(G')$ holds (where G' is the new graph and the factor x depends on the numbers of matchings of H and its subgraphs). We describe how one can construct h when G is a planar

graph and H is a bipartite graph (with some restriction on the coloring of vertices connecting it with the other part of the graph G). For a planar bipartite graph H with a small number of such vertices, we prove that the equality holds for an arbitrary graph G .

С.-Петербургский
государственный университет,
Университетский пр., д. 28,
Старый Петергоф,
198504 С.-Петербург, Россия
E-mail: obursian@gmail.com

Поступило 23 сентября 2015 г.